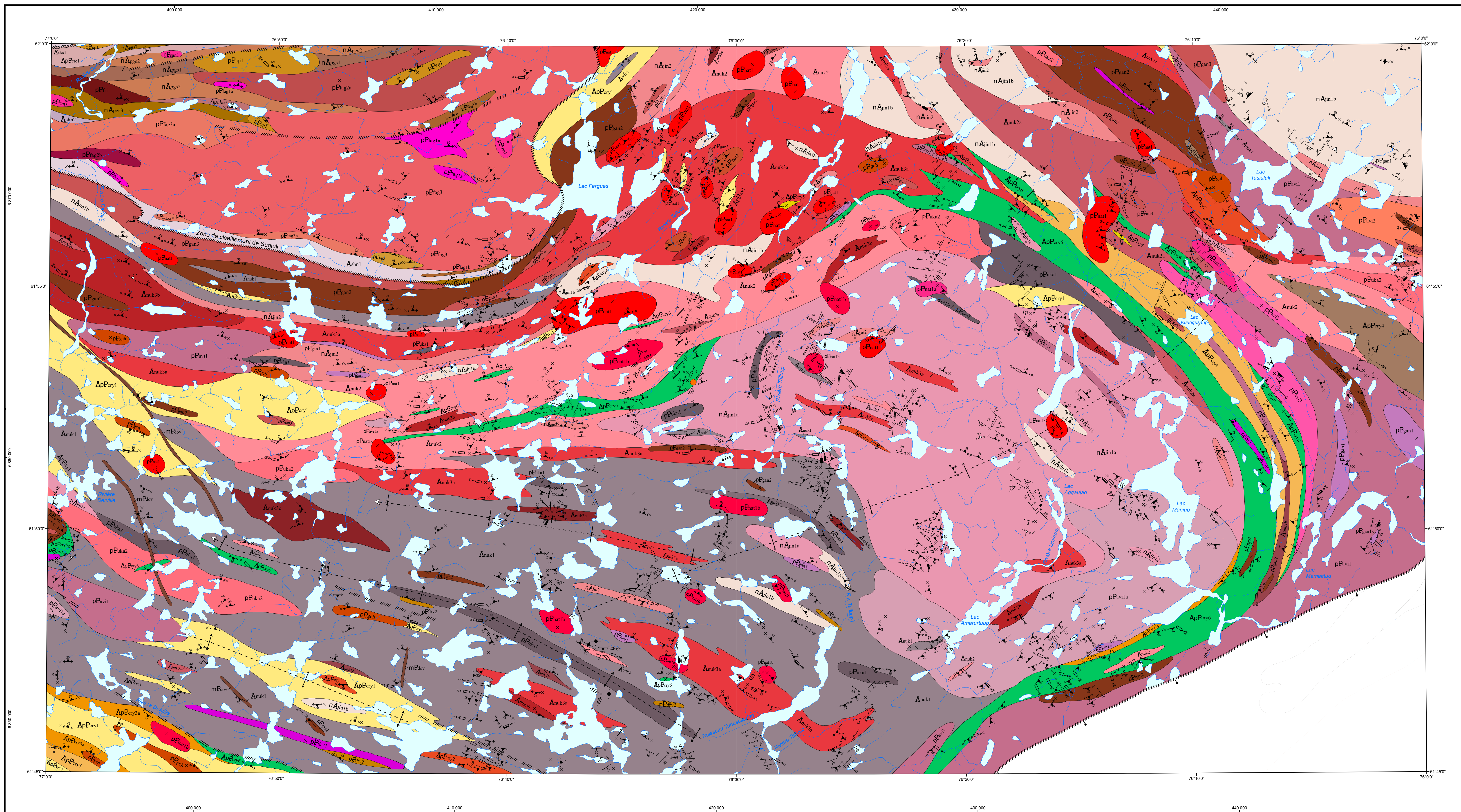


Géologie de la région du lac Amarurttuq, Orogène de l'Ungava, Nunavik, Québec, Canada



LÉGENDE STRATIGRAPHIQUE

PROVINCE DE CHURCHILL
MÉSOPROTÉROZOÏQUE

Dykes de Durouay
mDu: Diabase : Gabbro et norite subophiques et massives

DOMAINE LITHOTECTONIQUE DE NARSUAJUAQ
PALEOPROTÉROZOÏQUE

Suite de Sanningjuaq (1788,2 ± 1,2 Ma, Parrish, 1989)
pSann1: Syénite et monzogranite roses, foliés à massifs, moyennement à grossièrement grenus; injections de pegmatite

Suite de Fricchet
pFric1: Diorite, margérite, diorite à hypersthène et monzodiorite porphyroïdes, foliées, à hornblende-biotite-clinopyroxène

Suite de Fargues (1636 ± 4 Ma, Davis, 2022)
pFarg1: Monzonite, margérite et syénite mouchetées, foliées, à phénocristaux de plagioclase, à pyroxène-hornblende-biotite
pFarg2: Monzonite et margérite mouchetées, foliées, à pyroxène-hornblende-biotite
pFarg3: Granite à feldspath alcalin, massif, à grain grossier, à biotite ± hornblende
pFarg4: Syénite et margérite foliées, à grain fin, à pyroxène-magnétite ± hornblende ± biotite
pFarg5: Monzogabbro moucheté, à hornblende-biotite
pFarg6: Clinopyroxénite amphibolitisée et monzogabbro mélanocrite, à hornblende-biotite

Suite d'Actulak (1837 ± 5 Ma, Davis, 2022)
pAct1: Gabbro moucheté, homogène, folié, à clinopyroxène-hornblende-biotite
pAct2: Gabbro moucheté, homogène, folié, à pyroxène-hornblende-biotite

ARCHÉEN À PALEOPROTÉROZOÏQUE

Complexe d'Estro
ApEst1: Gneiss granulitique intermédiaire d'origine incertaine, à biotite-grenat-orthopyroxène
ApEst2: Orthogneiss granulitique tonalitique à dioritique, à grain fin, folié, à biotite ± hornblende ± grenat; niveaux de gabbro-norite et de charnockite

Complexe de Pingasuaq (2773 à 2699 Ma, Davis et Sutcliffe, 2018)
nPing1: Gabbro et gabbro-norite migmatitisés, à grenat-clinopyroxène-hornblende-magnétite ± orthopyroxène
nPing2: Diorite quartzifère à hypersthène variablement migmatitisée
nPing3: Gabbro-norite et diorite à hypersthène mésozoïques, à grain fin à moyen, à hornblende-clinopyroxène-orthopyroxène-biotite

Complexe de Sainte-Hélène (2794 ± 21 Ma, Davis et Sutcliffe, 2018)
nSte1: Tonalite migmatitisée, rubanée, foliée à gneissique, à biotite
nSte2: Diorite quartzifère migmatitisée, gneissique, foliée, à grain fin à moyen, à hornblende-biotite

DOMAINE LITHOTECTONIQUE DE KOVIK
PALEOPROTÉROZOÏQUE

Suite de Nunatak
pNun1: Monzonite et monzonite quartzifère peu foliées, à grain fin à moyen, à clinopyroxène-magnétite-hornblende-sphène
pNun2: Granite massif, homogène, équilibré, à grain moyen, à biotite-chlorite ± muscovite
pNun3: Granite massif à pegmatite, à grain grossier, à biotite-muscovite-chlorite
pNun4: Granite homogène, folié, à biotite-chlorite ± muscovite

Suite de Derville
pDer1: Gabbro amphibolitisé, homogène, massif à folié, à grain fin à moyen, à phénocristaux millimétriques de clinopyroxène ou de plagioclase
pDer2: Orthopyroxène à olivine, hercynite, webstérite à olivine et webstérite à cumulats

Suite de Gastin (1834 ± 4 Ma, Davis, 2022)
pGas1: Monzodiorite, diorite et monzonite, à hornblende-biotite-sphène
pGas2: Monzogabbro et gabbro amphibolitisés homogènes, foliées, à hornblende-clinopyroxène-biotite
pGas3: Pyroxénite amphibolitisée et gabbro amphibolitisé mélanocrite

Suite d'Uvikkaq (1852 ± 6 Ma, Davis et Sutcliffe, 2018)
pUv1: Granodiorite homogène, équilibrée, à grain fin à moyen, à biotite ± hornblende
pUv2: Tonalite et diorite quartzifère homogènes, équilibrées, à grain fin à moyen, à biotite ± hornblende

Suite d'Arviq (1854 ± 6 Ma, Davis, 2023)
pArv1: Monzogranite homogène à grain fin avec petits phénocristaux de feldspath potassique, à biotite
pArv2: Monzodiorite quartzifère porphyroïde, homogène, à hornblende-biotite
pArv3: Granodiorite porphyroïde, homogène, à biotite-épidote
pArv4: Granodiorite à grain moyen avec rares phénocristaux de feldspath potassique, à biotite-épidote

Suite de Guichaud (1863 ± 7 Ma, Davis, 2022)
pGui1: Granite d'arénose à grain moyen à grossier, massif à peu folié, à schlierens, à biotite-grenat

ARCHÉEN À PALEOPROTÉROZOÏQUE

Suite de Crony
pCron1: Amphibolite à grain fin à très fin, rubanée, à grenat ± clinopyroxène; amphibolite homogène à actinolite-chlorite-carbonate
pCron2: Quartzite à biotite
pCron3: Schiste et paragneiss schisteux à muscovite-biotite
pCron4: Paragneiss à biotite ± grenat
pCron5: Paragneiss potassique ou gneiss granitique
pCron6: Diatexite à schlierens issue de la fusion partielle de paragneiss, à biotite-grenat ± sillimanite
pCron7: Paragneiss migmatitisé et métatexite stromatique, à biotite-grenat à sillimanite et muscovite

Suite de Jinnikut (2767 ± 3 Ma, Davis, 2023)
nJin1: Monzodiorite quartzifère, monzonite quartzifère et diorite quartzifère à grain moyen, à hornblende-biotite-épidote-sphène
nJin2: Monzodiorite et monzonite mouchetées, homogènes, à grain moyen, à hornblende-biotite-clinopyroxène-sphène-épidote
nJin3: Monzodiorite quartzifère mouchetée, homogène à grain moyen, à hornblende-biotite-épidote

Complexe de Nanuk (2931 ± 11 Ma, Davis, 2022; 2765 ± 3 Ma et 2700 ± 15 Ma, Davis, 2023)
nNan1: Diatexite à leucosome en amas, à biotite-hornblende
nNan2: Diatexite à schlierens ou à radiaux, à biotite-hornblende
nNan3: Métatexite stromatique, à biotite-hornblende
nNan4: Granodiorite et monzogranite rubanés, foliés à gneissiques, à grain fin à moyen, à biotite
nNan5: Orthogneiss granodioritique à granitique, à grain fin, à biotite
nNan6: Tonalite et diorite quartzifère rubanées, foliées à gneissiques, à grain fin à moyen, à biotite ± hornblende
nNan7: Orthogneiss dioritique à quartzodioritique, à hornblende-biotite ± chlorite; niveaux abondants de diorite et de gabbro
nNan8: Orthogneiss tonalitique à quartzodioritique, à grain fin et granoblastique, à biotite ± hornblende

INDICE ET GÎTE
● Cuivre

Cette carte géologique en format PDF comporte des calques (ou couches) qui regroupent les divers éléments du document (zones géologiques, hydrographie, affleurements de glôfiche, etc.). Ces calques peuvent être affichés ou masqués dans la section « Calques » du « Volet du navigateur » d'Adobe Acrobat Reader ©.
Les symboles et abréviations utilisés sur cette carte sont décrits dans la publication DV 2014-56 du ministère des Ressources naturelles et des Forêts.

Localisation

35K03 35K02 35K01
35F14 35F16 35F16
35F11 35F10 35F09

Métadonnées

Surface de référence géodésique : Ellipsoïde GRS 80
Système de référence géodésique : NAD 83 compatible avec le système mondial WGS 84
Projection cartographique : Mercator transverse universelle (MTU), fuseau 18
Longitude d'origine : 76°30'
Latitude d'origine : 0°

Sources

Données
Base de données pour l'aménagement du territoire (BOAT 100N)

Organisme
Ministère des Ressources naturelles et des Forêts

Réalisation

Géologie : Isabelle Lafrance, Marc-Antoine Vanier (2021)
Références : Tremblay, G. (1991) - ET 88-09
Julie Sauvageau
Assistance technique :
Production : Ministère des Ressources naturelles et des Forêts
Direction générale de Géologie Québec
Diffusion : Ministère des Ressources naturelles et des Forêts
Direction de l'information géologique et de la promotion

Le présent document n'a aucune portée légale
© Gouvernement du Québec, 2^e trimestre 2023

BG 2023-08-C01

Carte du Bulletin géologique : <http://gq.mines.gouv.qc.ca/bulletin-geologique/narsuaq>

Pour obtenir les données les plus récentes concernant cette région, nous vous suggérons de consulter les produits géomatiques du Système d'information géomineur du Québec (SIGÉOM)

Bulletin géologique

SIGÉOM
Système d'information géomineur du Québec